

doi: 10.3978/j.issn.2095-6959.2020.07.005
View this article at: <http://dx.doi.org/10.3978/j.issn.2095-6959.2020.07.005>

MiRNA-92a 靶向 PTEN 通过 PI3K/AKT 信号通路 促进卵巢癌细胞转移

王秋宇¹, 朱军义¹, 邓巧子²

(1. 南阳市中心医院妇产科, 河南 南阳 473000; 2. 河南科技大学第一附属医院新区医院妇产科, 河南 洛阳 471000)

[摘要] 目的: 探讨miRNA-92a对卵巢癌细胞侵袭与迁移能力变化的影响和可能的作用机制。方法: RT-qPCR检测卵巢癌组织和卵巢癌细胞miRNA-92a的表达水平; 转染miRNA-92a inhibitor/mimic后, Transwell小室法检测SKOV3与A2780细胞的侵袭与迁移能力; 蛋白质印迹法检测SKOV3与A2780细胞中p-PI3k, p-Akt和PTEN蛋白水平的变化; 预测miRNA-92a靶基因并经双荧光素酶报告基因验证。结果: MiRNA-92a在卵巢癌组织和卵巢癌细胞中高表达($P<0.05$); 转染miRNA-92a inhibitor后, SKOV3与A2780细胞的侵袭和迁移能力明显受到抑制, 同时p-PI3k和p-Akt蛋白水平均显著降低, PTEN蛋白水平显著升高(均 $P<0.05$); 转染miRNA-92a mimic后, 以上指标相反; miRNA-92a靶基因为PTEN, 且过表达PTEN能逆转由miRNA-92a诱导的侵袭转移与p-PI3k, p-Akt表达(均 $P<0.05$)。结论: MiRNA-92a直接结合靶基因PTEN, 通过激活PI3k/Akt通路活性, 促进卵巢癌细胞SKOV3的侵袭与迁移能力。

[关键词] 卵巢癌; miRNA-92a; 侵袭; 迁移

MiRNA-92a promote metastasis in ovarian cancer cells through PI3K/Akt signaling pathway by targeting PTEN

WANG Qiuyu¹, ZHU Junyi¹, DENG Qiaozi²

(1. Department of Obstetrics and Gynecology, Nanyang City Center Hospital, Nanyang Henan 473000; 2. Department of Obstetrics and Gynecology, The First Affiliated Hospital of Henan University of Science and Technology, Luoyang Henan 471000, China)

Abstract **Objective:** To investigate the effects and the possible mechanisms of miRNA-92a on the abilities of cell invasion and migration in ovarian cancer cells. **Methods:** The expressions of miRNA-92a in the ovarian cancer tissues and ovarian cancer cells were detected by RT-qPCR. After transfection with miRNA-92a inhibitor or mimic, the abilities of SKOV3 and A2780 cell invasion and migration were determined by Transwell assay. The protein levels of p-PI3K, p-Akt and PTEN were measured by Western blotting. Further, miRNA-92a target gene was predicted and then be verified by dual-luciferase reporter system assay. **Results:** The expressions of miRNA-92a were

收稿日期 (Date of reception): 2019-07-19

通信作者 (Corresponding author): 邓巧子, Email: dengqiaozi2114@aliyun.com

基金项目 (Foundation item): 洛阳市应用技术研究与开发资金项目 (1201052A2)。This work was supported by Luoyang Applied Technology Research and Development Project Foundation, China (1201052A2)。

significantly higher in the ovarian cancer tissue and ovarian cancer cells ($P<0.05$). After transfected with miRNA-92a inhibitor into SKOV3 and A2780 cells, the abilities of invasion and migration were dramatically reduced, the protein levels of p-PI3K and p-Akt were markedly decreased and *PTEN* was markedly increased (all $P<0.05$). However, after transfection with miRNA-92a mimic, the above indicators were contrary. Furthermore, *PTEN* was the direct target gene of miRNA-92a, and over-expression *PTEN* reversed the migration and invasion induced by over-expression miRNA-92a in SKOV3 and A2780 cells, and the high expression of p-PI3k and p-Akt (all $P<0.05$).

Conclusion: MiRNA-92a promotes the abilities of invasion and migration in the SKOV3 and A2780 ovarian cancer cells though activating of PI3K/Akt pathway by direct targeting *PTEN*.

Keywords ovarian cancer; miRNA-92a; invasion; migration

卵巢癌是妇科恶性肿瘤中病死率最高的一种，其发病率在女性恶性肿瘤中排第3位^[1]。近年来卵巢癌在临幊上主要采用手术与化疗放疗方案，但大多数患者在就诊时已出现肿瘤已侵破包膜和血管，出现盆腹腔或更远端的转移，导致患者长期生存率降低^[2-3]。由此可见，恶性肿瘤的侵袭、转移是严重威胁患者生存期的重要因素。基于此，研究卵巢癌细胞的侵袭、转移机制尤为重要。

微小RNA(microRNA, miRNA)通过与靶mRNA的3'端非编码序列结合来影响蛋白质的合成^[4]。研究^[5]表明：miRNAs参与肿瘤细胞的病理进程，尤其是上皮间质转化与迁移。在组织与体外细胞培养定量miRNA，通过体外改变miRNA的表达量研究miRNA对肿瘤细胞的侵袭、迁移等能力的作用^[6]。Resnick等^[7]研究发现miRNA-92a在早期卵巢癌患者的血清中异常升高。另外有研究^[8]发现：miRNA-92a在腹水中的表达水平与在卵巢癌组织表达水平一致，且与卵巢癌进程相关。以上结果提示：miRNA-92a与卵巢癌的进程密切相关，但前人的文献中关于miRNA-92a在卵巢癌侵袭和迁移的具体作用机制尚未完全清楚。因此，本研究通过检测不同迁移程度的卵巢癌中miRNA-92a的表达，研究miRNA-92a对卵巢癌细胞侵袭与迁移能力的影响，并探讨其作用机制。

1 对象与方法

1.1 对象

1.1.1 实验样本

收集来自南阳市中心医院妇产科2012年6月至2015年6月期间接受手术的卵巢恶性病变患者共90例，其中卵巢组织32例(原发性卵巢癌组织8例，转移性卵巢癌组织24例)，卵巢良性肿瘤组

织28例，正常卵巢组织30例。所有组织标本均经过专业病理科人员确认。本实验通过南阳市中心医院医学伦理委员会批准(编号：2015081203)，且纳入研究的患者均签署知情同意书。

1.1.2 细胞与试剂

卵巢癌细胞株SKOV3, A2780, OVCA433购自中国科学院上海细胞库，人正常卵巢上皮细胞株IOSE80购自上海慧颖生物科技有限公司；RPMI-1640培养液与新生牛血清购自美国Gibco公司；miRNA-92a引物、*PTEN*引物、反转录试剂盒、PCR检测试剂盒、lipofectamineTM2000、*PTEN*-siRNA和阴性对照siRNA(negative control siRNA, NC-siRNA)购自美国Invitrogen公司；抗p-PI3k/PI3K, p-Akt/Akt, *PTEN*与 β -actin抗体购自美国Santa Cruz公司；miRNA-92a inhibitor(miR-92a i)和配对inhibitor阴性对照miRNA (negative control miRNA inhibitor, NC-i)、miRNA-92a mimics (miR-92a m)和配对 mimics 阴性对照miRNA (negative control miRNA mimics, NC-m)由广州锐博生物科技有限公司合成；慢病毒*PTEN*载体pLV-*PTEN*-RFP和慢病毒对照载体pLV-RFP由上海吉玛制药技术有限公司合成；双荧光素酶检测试剂盒购自美国Promega公司。

1.2 方法

1.2.1 细胞培养、传代

将SKOV3, A2780, OVCA433细胞加入含有10%新生牛血清，青霉素与链霉素各100 U/mL的RPMI-1640培养液，置于37 °C, 5% CO₂的饱和湿度恒温培养箱中培养，2~3 d更换培养基1次。实验取对数生长期细胞。待细胞生长率达到90%行细胞传代，吸去原有培养液，加入1 mL 0.25%胰蛋白酶消化，吹打至细胞悬液，计数后分到相应培养皿中，继续培养，观察贴壁情况。

1.2.2 细胞转染

收集SKOV3与A2780细胞，按照说明书方法，对细胞进行转染miR-92a i, NC-i, miR-92a m, NC-m, NC-siRNA, PTEN-siRNA, pLV-RFP和pLV-PTEN-RFP。收集稳定对数生长期的SKOV3与A2780细胞，0.25%胰酶消化后置于6孔板中，待细胞密度到达约80%融合时，更换新鲜无血清培养基继续培养同步化12 h后，按说明书进行转染，6 h后吸去转染液，每孔加入含10% FBS的RPMI-1640培养基继续孵育，48 h后收集细胞。该转染细胞用于后续Transwell细胞迁移实验、Transwell细胞侵袭实验、蛋白质印迹法检测和RT-qPCR检测。

1.2.3 Transwell细胞侵袭和细胞迁移实验

将SKOV3与A2780细胞分别加入含有0.1% FBS的RPMI-1640培养基中孵育18 h，用4 ℃预冷的无血清培养基稀释Matrigel，使终浓度为1 mg/mL，往小室底部中央垂直加入100 μL稀释后的Matrigel，37 ℃温育使聚合成胶。将 1×10^5 个已消化的细胞加入无血清RPMI-1640培养基使终体积为100 μL，混匀，加入Transwell小室的上室，下室中加入含10%胎牛血清的RPMI-1640培养液，避免产生气泡。在5% CO₂，37 ℃恒温培养箱中培养24 h，PBS洗2次，10%甲醛固定15 min，0.1%结晶紫染色30 min，于倒置显微镜下计数。Transwell细胞迁移实验的步骤与Transwell细胞侵袭实验一致，只是不铺Matrigel。

1.2.4 双荧光素酶报告基因检测

使用miRanda预测miRNA-92a的靶基因，然后结合基因功能挑选靶基因PTEN并进行验证。构建野生型(WT-3'-UTR)及突变型(Mutant-3'-UTR)PTEN 3'-UTR-荧光素酶表达载体，并将其和/或miR-92a mimics/inhibitor转入293T细胞中，培养48 h后，加入100 μL的PLB裂解细胞。取细胞裂解液加入发光板后再加入100 μL LAR II工作液混匀，用GloMax生物发光检测仪读取荧光值；随后，每样品再加入100 μL Stop & Glo[®] Reagent，快速混匀后，GloMax生物发光检测仪读取荧光值。然后依据双荧光素酶检测试剂盒说明书，使用荧光素酶报告基因检测仪进行测定。实验结果以荧光素酶的活性与Renilla的活性的比值来进行统计学分析。

1.2.5 RT-qPCR

往样本组织或细胞加入1 mL裂解液，-4 ℃离心5 min，严格按照TRIzol说明书要求，提取各组组织或细胞的总RNA，定量后反转录合成cDNA，取

cDNA和引物，按照PCR试剂盒说明书方法检测基因表达。

MiRNA-92a的正向引物为5'-GCTGAGTAT-TGCACITGTCCCC-3'，反向引物为5'-GTGTCGTG-GAGTCGGCAA-3'；PTEN的正向引物为5'-CCGA-AAGGTTTGCTACCATTCT-3'，反向引物为5'-AAAATTATTCCTTCTAGCATTCC-3'；β-actin的正向引物为5'-CCTGTACGCCAACACA-GTGC-3'，反向引物为5'-ATACTCCTGCTTGCT-GATC-3'；U6的正向引物为5'-CTCGCTTCG-GCAGCACA-3'，反向引物为5'-AACGCTTCAC-GAATTGCGT-3'。扩增条件为95 ℃ 30 s, 62 ℃ 30 s, 72 ℃ 50 s，共35个循环，72 ℃延伸7 min。miRNA-92a以U6做为内参，PTEN以β-actin为内参，采用 $2^{-\Delta\Delta Ct}$ 法计算目标基因相对表达量。

1.2.6 蛋白质印迹法检测相关蛋白

收集各组细胞，按试剂盒说明书提取总蛋白，测定蛋白浓度，每道加入50 μg蛋白进行SDS-PAGE电泳，湿转将蛋白转至PVDF膜，加入5%脱脂牛奶的PBS缓冲液封闭1 h，加入一抗(PI3k与Akt 1:4 000, p-PI3k与p-Akt 1:2 000, PTEN与β-actin 1:4 000)，4 ℃过夜，洗膜后加入相应二抗(1:5 000)，室温孵育1 h，洗膜，化学发光法显色，冲洗显色凝胶成像系统扫描分析蛋白条带。

1.3 统计学处理

采用SPSS 15.0软件进行数据分析，数据以均数±标准差($\bar{x}\pm s$)表示，各组比较采用单因素方差分析，两两比较采用Benferroni校正的t检验，以P<0.05为差异具有统计学意义。

2 结果

2.1 RT-qPCR 检测各卵巢组织样本中 miRNA-92a 表达水平

RT-qPCR结果显示：正常卵巢组织(n=30)中miRNA-92a的表达水平很低，而卵巢癌患者的卵巢组织(n=32)中miRNA-92a呈高表达，显著高于正常卵巢组织(P<0.05)；良性肿瘤卵巢组织(n=28)中的miRNA-92a水平略高于正常组织，但差异无统计学意义(P>0.05，图1A)。进一步统计发现：转移性卵巢癌组织(n=24)中的miRNA-92a表达最高(P<0.05，图1B)。

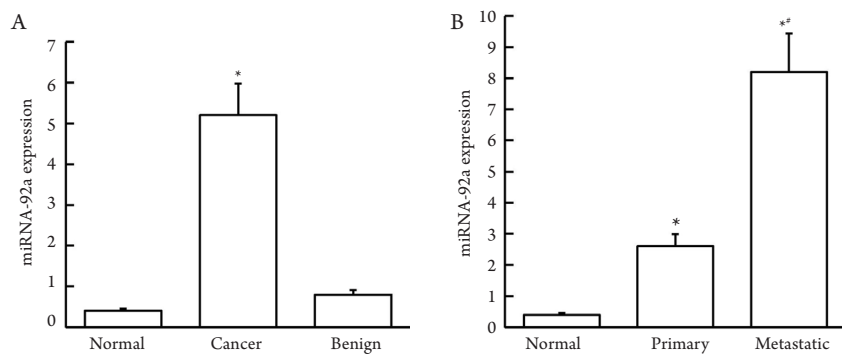


图1 不同卵巢组织中miRNA-92a的表达

Figure 1 Expression of miRNA-92a in different ovarian tissues

(A)不同卵巢组织; (B)不同程度的转移性卵巢癌组织。*P<0.05 vs正常卵巢组织; #P<0.05 vs原发性卵巢癌组织。

(A) Different ovarian tissues; (B) Different degrees of metastatic ovarian cancer tissues. *P<0.05 vs normal ovarian tissue; #P<0.05 vs primary ovarian cancer tissue.

2.2 RT-qPCR 检测卵巢癌细胞中 miRNA-92a 表达水平

RT-qPCR结果显示：正常卵巢上皮细胞IOSE80中miRNA-92a的表达水平很低，而卵巢癌细胞中miRNA-92a呈高表达($P<0.05$)，且SKOV3细胞株中miRNA-92a表达相对最高($P<0.05$ ，图2A)。进一步研究发现SKOV3和A2780细胞转染miR-92a i, NC-i, miR-92a m和NC-m后，miR-92a i抑制SKOV3与A2780细胞中miRNA-92a表达，miR-92a m促进

SKOV3与A2780细胞中miRNA-92a表达(图2B, 2C)。

2.3 miRNA-92a 对 SKOV3 与 A2780 细胞迁移和侵袭能力的影响

与对照组相比，miR-92a i转染组的SKOV3细胞的细胞迁移数与侵袭数均显著减少($P<0.05$)，而miR-92a m转染组的SKOV3细胞的细胞迁移数与侵袭数均显著增加($P<0.05$ ，图3A)。A2780细胞株的结果与SKOV3结果相似(图3B)。

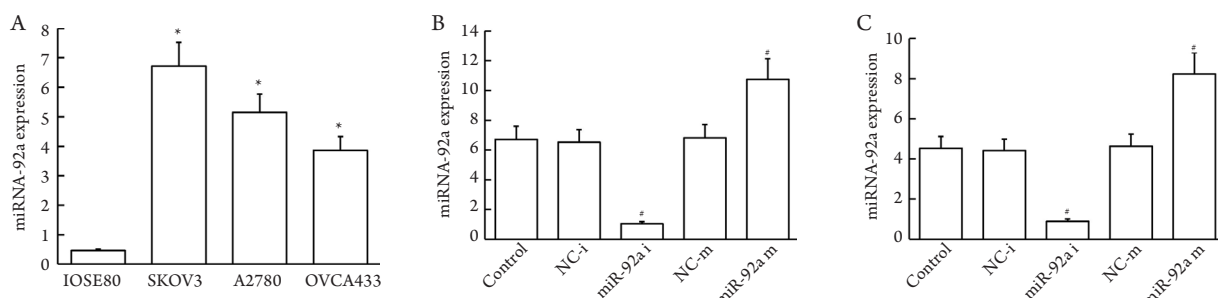


图2 miRNA-92a在各细胞株中的表达

Figure 2 Expression of miRNA-92a in different cells

(A)几种卵巢癌细胞株(SKOV3, A2780和OVCA433)和人正常卵巢上皮细胞(IOSE80) miRNA-92a的表达水平；(B, C)用miRNA-92a mimics或inhibitor转染SKOV3 (B)和A2780 (C)细胞48 h后，RT-qPCR检测miRNA-92a水平。 $n=6$ 。*P<0.05 vs IOSE80细胞；#P<0.05 vs对照组。

(A) miRNA-92a levels in several ovarian cancer cell lines (SKOV3, A2780 and OVCA433) and human normal ovarian epithelium cell line (IOSE80); (B,C) After SKOV3 (B) and A2780 (C) cells transfected with miRNA-92a mimics or inhibitor for 48 h, the levels of miRNA-92a were determined by RT-qPCR. $n=6$. *P<0.05 vs IOSE80 cells; #P<0.05 vs control group.

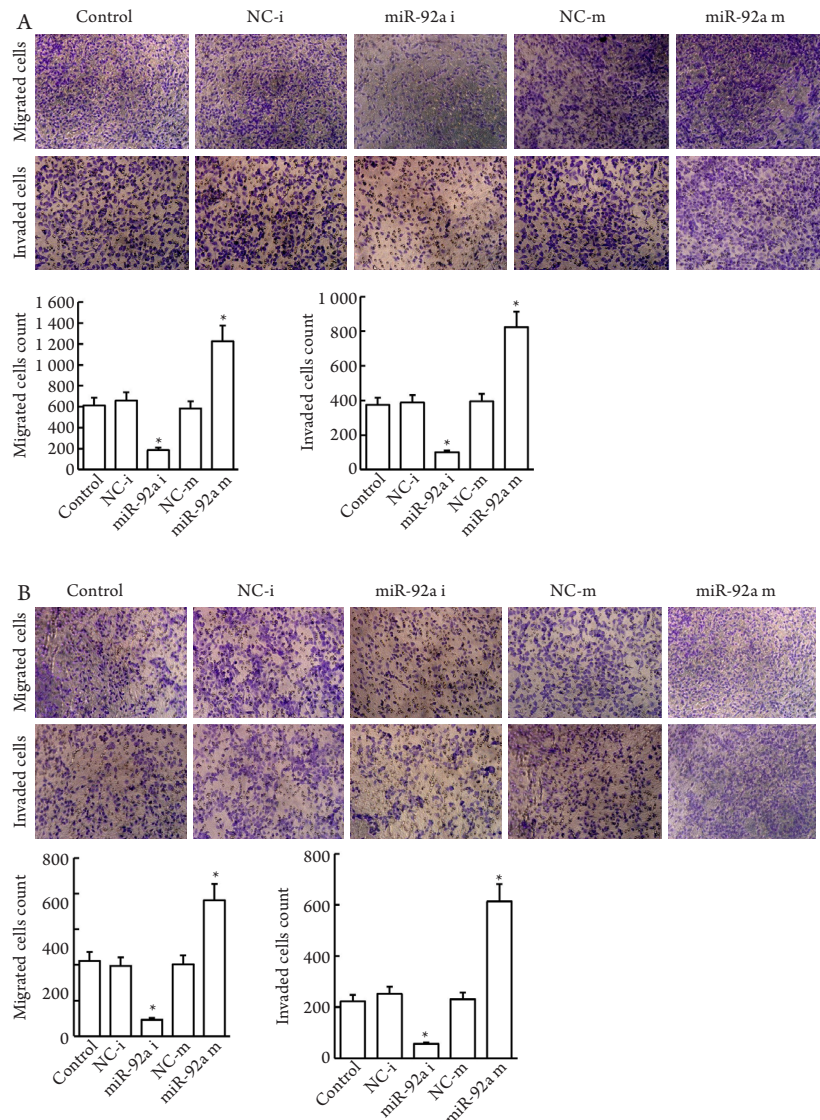


图3 miRNA-92a对SKOV3和A2780细胞迁移侵袭能力的影响($\times 200$)

Figure 3 Effect of miRNA-92a on cell migration and invasion in SKOV3 and A2780 cells ($\times 200$)

(A)用miRNA-92a mimics或inhibitor转染SKOV3细胞48 h后, Transwell法测定细胞迁移和侵袭; (B)用miRNA-92a mimics或inhibitor转染A2780细胞48 h后, Transwell法测定细胞迁移和侵袭。n=3。*P<0.05 vs对照组。

(A) After SKOV3 cells transfected with miRNA-92a mimics or inhibitor for 48 h, cell migration and cell invasion were determined by Transwell assay; (B) After A2780 cells transfected with miRNA-92a mimics or inhibitor for 48 h, cell migration and cell invasion were determined by Transwell assay. n=3. *P<0.05 vs control group.

2.4 miRNA-92a 对 p-PI3k, p-Akt, PTEN 蛋白水平的影响

与control组相比, miR-92a i组的SKOV3(图4A)与A2780(图4B)细胞中p-PI3k, p-Akt蛋白水平显著降低($P<0.05$), PTEN蛋白水平显著升高($P<0.05$); miR-92a m转染组的SKOV3(图4A)与A2780(图4B)细胞中p-PI3k, p-Akt蛋白水平显著升高, PTEN蛋白水平均显著降低

($P<0.05$)。

2.5 PTEN 是 miRNA-92a 的直接作用靶基因

miRanda靶基因预测数据库预测miRNA-92a的靶基因为PTEN(图5A);同时, PTEN mRNA在卵巢癌组织(图5B)和卵巢癌细胞(图5C)中低表达($P<0.05$);双荧光素酶报告基因显示:PTEN是miRNA-92a的直接靶基因(图5D)。

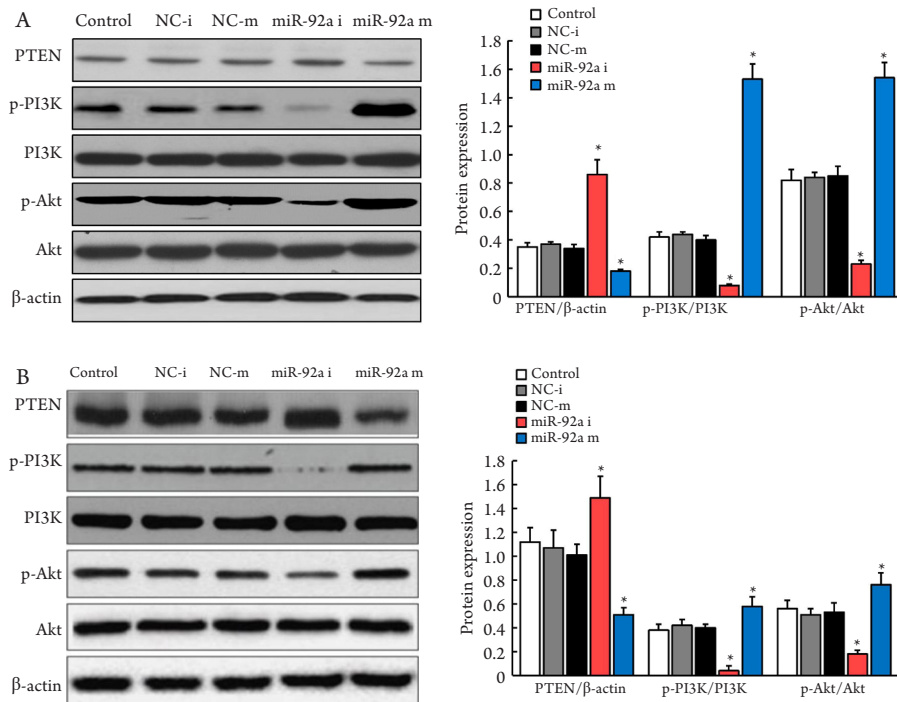


图4 转染miRNA-92a mimics或inhibitor后，SKOV3(A)和A2780(B)细胞的p-PI3k, p-Akt, VEGF和p53蛋白水平

Figure 4 Protein levels of p-PI3k, p-Akt, and PTEN in SKOV3 cells (A) and A2780 cells (B) after transfected with miRNA-92a mimics or inhibitor

n=3。*P<0.05 vs对照组。

n=3. *P<0.05 vs control group.

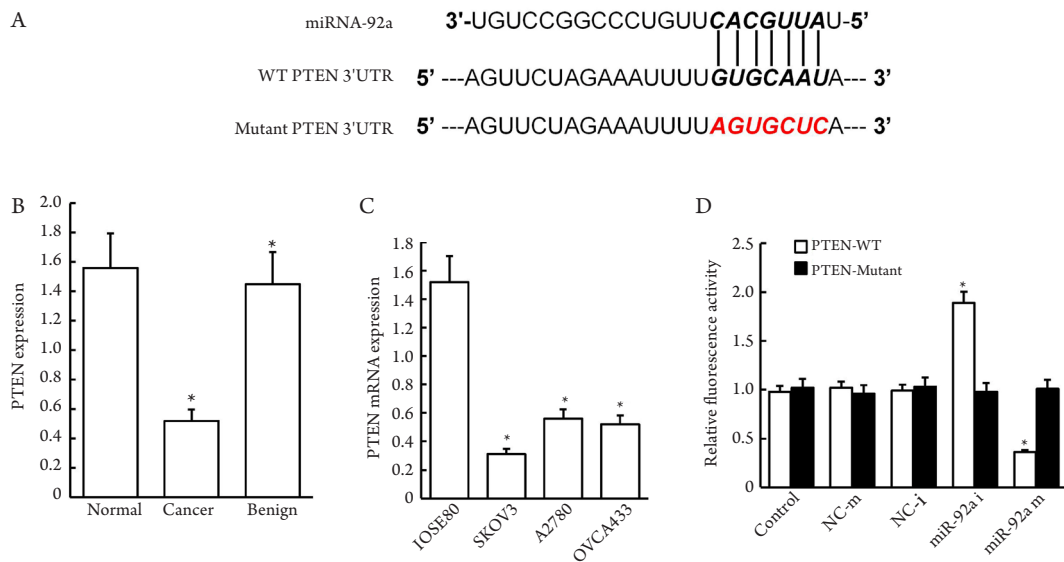


图5 PTEN是miRNA-92a的直接作用靶基因

Figure 5 PTEN is the direct target gene of miRNA-92a

(A)PTEN的3'-UTR区域具有预测的miRNA-92a结合位点；(B)在不同卵巢组织中PTEN mRNA表达；(C)在不同细胞中PTEN mRNA表达；(D)通过双荧光素酶报告系统验证PTEN是miRNA-92a的直接靶基因。n=3。*P<0.05 vs对照组。

(A) 3'-UTR of PTEN had a putative binding site of miRNA-92a; (B) mRNA expression of PTEN in different ovarian tissues; (C) mRNA expression of PTEN in different cells; (D) PTEN was the direct target gene of miRNA-92a by dual-luciferase reporter system assay. n=3. *P<0.05 vs control group.

2.6 敲减PTEN对SKOV3与A2780细胞迁移、侵袭能力以及p-PI3k和p-Akt表达的影响

蛋白质印迹法结果显示：敲减PTEN能促进SKOV3和A2780细胞的p-PI3k和p-Akt表达(均

$P<0.05$)。通过Transwell实验发现，敲减PTEN能促进SKOV3和A2780细胞的迁移与侵袭能力(均 $P<0.05$ ，图6)。

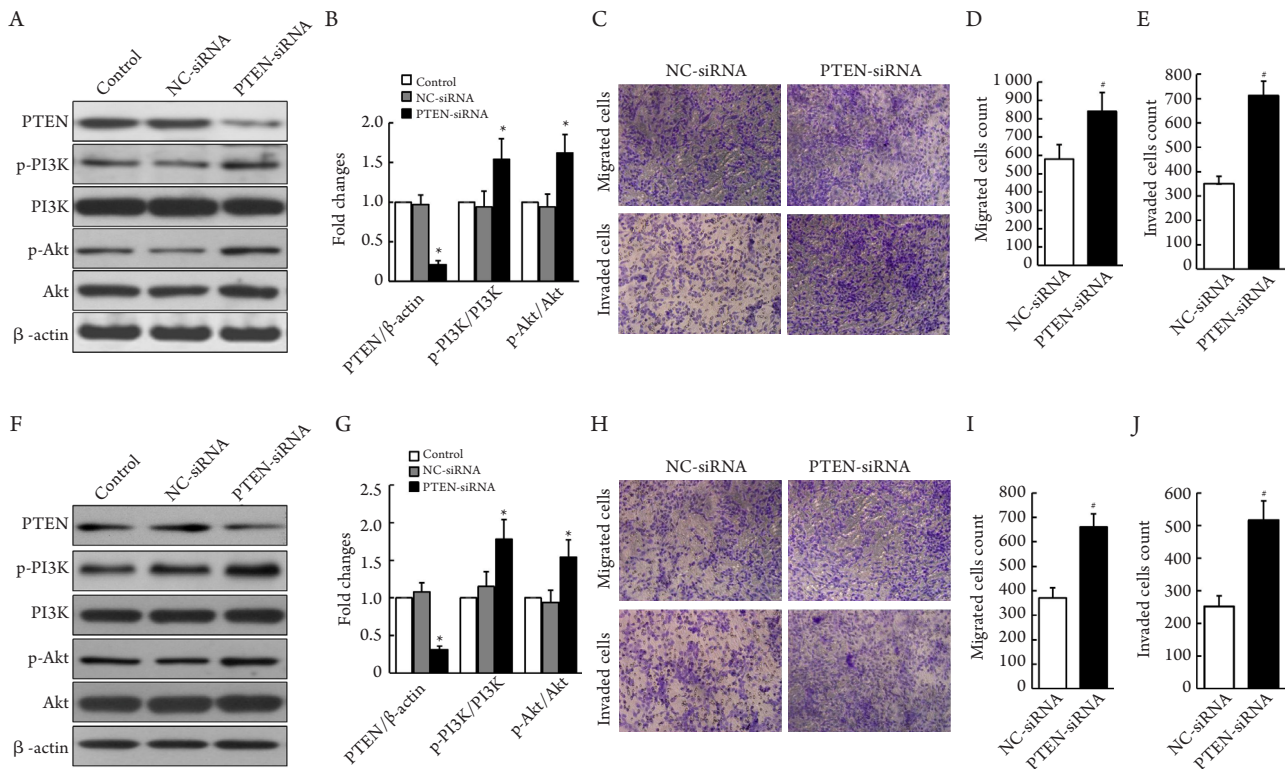


图6 敲减PTEN对SKOV3与A2780细胞迁移、侵袭能力以及p-PI3K和p-Akt表达的影响

Figure 6 Effect of PTEN knockdown on the protein expressions of p-PI3K and p-Akt, cell migration and cell invasion in SKOV3 and A2780 cells

(A, B)转染PTEN-siRNA后，SKOV3细胞中p-PI3k, p-Akt和PTEN蛋白水平的变化；(C~E)敲减PTEN对SKOV3细胞迁移与侵袭的影响($\times 200$)；(F, G)转染PTEN-siRNA后，A2780细胞中p-PI3K, p-Akt和PTEN蛋白水平的变化；(H~J)敲减PTEN对A2780细胞迁移与侵袭的影响($\times 200$)。 $n=3$ 。* $P<0.05$ vs对照组；# $P<0.05$ vs NC-siRNA转染组。

(A, B) The protein levels of p-PI3k, p-Akt and PTEN in SKOV3 cells after transfected with PTEN-siRNA；(C-E) Effect of PTEN knockdown on cell migration and invasion in SKOV3 cells ($200\times$)；(F, G) Protein levels of p-PI3K, p-Akt and PTEN in A2780 cells after transfected with PTEN-siRNA；(H-J) Effect of PTEN knockdown on cell migration and invasion in A2780 cells ($\times 200$)。 $n=3$ 。* $P<0.05$ vs control group；# $P<0.05$ vs NC-siRNA group.

2.7 过表达PTEN能逆转miRNA-92a过表达诱导的侵袭、转移与p-PI3k, p-Akt表达

为进一步验证miRNA-92a通过靶向结合PTEN调控卵巢癌细胞侵袭迁移，在SKOV3和A2780细胞转染miRNA-92a mimics后，转染慢病毒PTEN载

体pLV-PTEN-RFP，观察过表达PTEN是否能逆转miRNA-92a mimic的作用。结果显示：转染慢病毒PTEN载体pLV-PTEN-RFP能逆转过表达miRNA-92a SKOV3和A2780细胞的迁移和侵袭能力及p-PI3k, p-Akt表达(图7)。

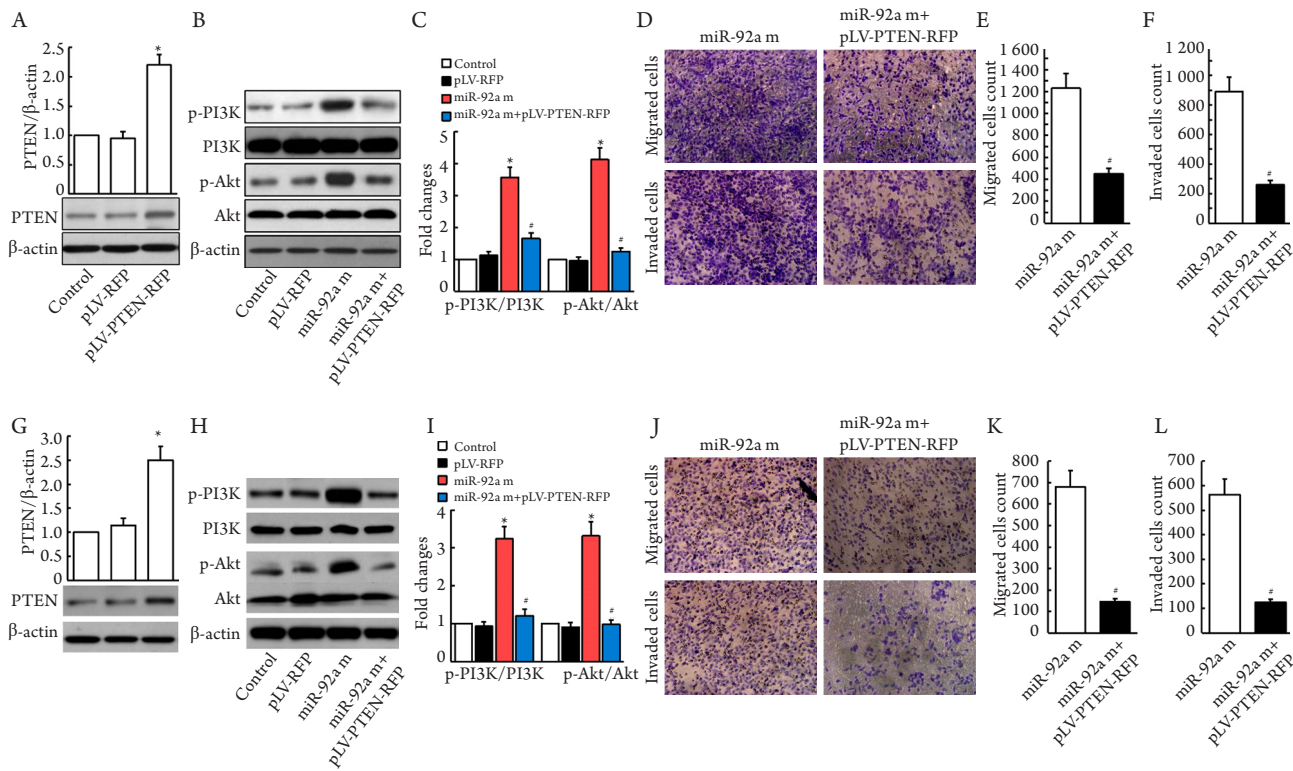


图7 过表达PTEN逆转miRNA-92a诱导的SKOV3和A2780细胞中p-PI3K, p-Akt蛋白水平升高、细胞迁移和侵袭

Figure 7 Over-expression PTEN reverse over-expression miRNA-92a induced higher protein levels of p-PI3K, p-Akt, cell migration and invasion in SKOV3 and A2780 cells

用miRNA-92a mimics和pLV-PTEN-RFP转染SKOV3或A2780细胞48 h后, 检测其蛋白表达、细胞迁移和侵袭情况。(A) pLV-PTEN-RFP在SKOV3细胞中的转染效率; (B, C) SKOV3细胞中的p-PI3k和p-Akt的蛋白表达水平; (D~F) SKOV3细胞的迁移图像($\times 200$)、细胞侵袭图像($\times 200$)和统计数据。(G) pLV-PTEN-RFP在A2780细胞中的转染效率; (H, I) A2780细胞中的p-PI3k和p-Akt的蛋白表达水平; (J~L) A2780细胞的迁移图像($\times 200$)、细胞侵袭图像($\times 200$)和统计数据。n=3。*P<0.05 vs 对照组; #P<0.05 vs miRNA-92a mimics转染组。

After SKOV3 or A2780 cells were transfected with miRNA-92a mimics and pLV-PTEN-RFP for 48 h, the protein expressions, cell migration and invasion were examined. (A) Transfection efficiency of pLV-PTEN-RFP in SKOV3 cells; (B, C) Protein levels of p-PI3k and p-Akt in SKOV3 cells; (D~F) Cell migration images ($\times 200$), cell invasion images ($\times 200$) and statistical data in SKOV3 cells; (G) Transfection efficiency of pLV-PTEN-RFP in A2780 cells; (H, I) Protein levels of p-PI3k and p-Akt in A2780 cells; (J~L) Cell migration images ($\times 200$), cell invasion images ($\times 200$) and statistical data in A2780 cells. n=3. *P<0.05 vs control group; #P<0.05 vs miRNA-92a mimics group.

3 讨论

卵巢癌是妇科常见的恶性肿瘤, 其病死率位于女性生殖系统肿瘤首位^[1]。据统计, 我国每年卵巢癌新发病例约13.15万, 发病率是发达国家的6倍^[9]。卵巢癌极易发生侵袭、转移^[10-11]。卵巢癌细胞的侵袭、转移正是绝大多数卵巢癌患者死亡的重要原因之一。但, 目前对卵巢癌侵袭转移的机制并不清楚。最近, miRNA-92a在其他肿瘤细胞的侵袭和迁移研究领域表现出良好的研究前

景^[12-18]。miRNA-92a参与多种肿瘤细胞的恶性生物学行为, 如miRNA-92a在肺癌组织中高表达, 且表达水平与恶性程度相关^[19]。Hu等^[20]研究发现miRNA-92a在结直肠癌中的表达水平明显高于癌旁组织, 且与结直肠癌病理分期与预后相关^[21]。进一步研究发现miRNA-92a直接通过影响PTEN^[13], KLF4^[14]等靶基因影响结直肠癌细胞侵袭性和增殖性。MiRNA-92a在人宫颈癌细胞瘤中高表达, 其侵袭与调节FBXW7表达密切相关^[15]。虽然miRNA-92a在其他肿瘤中研究较多, 但在卵巢癌中尚不完

善。因此,本研究采用RT-qPCR方法分别检测正常卵巢上皮组织、卵巢癌组织和卵巢良性瘤组织,发现在卵巢恶性病变部位中miRNA-92a呈高表达,提示miRNA-92a可能在卵巢癌组织中具有特异性高表达。本研究把卵巢癌组织分为原发性癌组织和转移性癌组织,发现miRNA-92a在转移性卵巢癌组织表达最高,提示miRNA-92a高表达可能与卵巢癌转移相关。接着本研究选择SKOV3和A2780细胞上,通过转染miRNA-92a inhibitor或mimics后,发现转染miRNA-92a inhibitor后SKOV3和A2780细胞的侵袭与迁移能力均降低,转染miRNA-92a mimics后SKOV3细胞的侵袭与迁移能力均增强。说明miRNA-92a促进卵巢癌细胞侵袭与迁移。

MiRNAs是一类非编码小RNA分子,通过翻译抑制或靶基因mRNAs的剪切来调节基因的表达^[21]。为此,利用预测靶基因软件miRanda显示PTEN mRNA是miRNA-92a的靶基因,双荧光霉素报告基因同样验证miRNA-92a的靶基因为PTEN mRNA。同样在转移性卵巢癌组织和卵巢癌细胞中发现PTEN mRNA低表达。PTEN是蛋白质酪氨酸磷酸酶(protein tyrosine phosphatases, PTP)基因家族成员,PTEN可能与酪氨酸激酶竞争共同的底物,在肿瘤的发生、发展中起重要作用,它参与调控肿瘤细胞的侵袭和转移^[22-23],如过表达PTEN对卵巢癌A2780细胞的侵袭、迁移起负调节作用^[23];PTEN在低分化的结直肠癌细胞系RKO细胞过表达可以抑制细胞的侵袭和迁移能力^[24];在正常的输卵管上皮细胞敲除PTEN,会引起上皮细胞形态肿瘤样改变,造成细胞迁移能力增加和卵巢肿瘤形成^[25];在MDA-MB-231细胞中过表达PTEN,细胞的侵袭和迁移能力受到抑制^[26]。另外,PTEN可以与PI3K/Akt信号通路共同调节肿瘤细胞的增殖、凋亡、侵袭和转移等生物学行为^[26-28]。本研究发现:转染miRNA-92a inhibitor抑制SKOV3和A2780细胞中p-PI3K与p-Akt的蛋白表达,促进PTEN的蛋白表达;而转染miRNA-92a mimics促进p-PI3K与p-Akt的蛋白表达,抑制PTEN的蛋白表达;同时,本研究采用PTEN敲减的方法也证明了PTEN敲减能加强PI3K/Akt信号活性和促进卵巢癌细胞的侵袭与迁移能力;且过表达PTEN能逆转miRNA-92a mimics的作用。这些结果提示:在卵巢癌细胞中,miRNA-92a可以通过PTEN/PI3K/Akt为轴心的信号通路促进卵巢癌细胞的侵袭与迁移能力。

综上所述,miRNA-92a可作为卵巢癌治疗的一个潜在的标志物,为卵巢癌的靶点治疗提供理论依据。

参考文献

- Jemal A, Siegel R, Xu J, et al. Cancer statistics, 2010[J]. CA Cancer J Clin, 2010, 60(5): 277-300.
- Ponnusamy MP, Seshacharyulu P, Lakshmanan I, et al. Emerging role of mucins in epithelial to mesenchymal transition[J]. Curr Cancer Drug Targets, 2013, 13(9): 945-956.
- 徐晓芳. 中晚期卵巢癌综合治疗疗效及影响因素[J]. 中国社区医师, 2017, 33(30): 80-83.
XU Xiaofang. Efficacy and influencing factors of combined therapy for advanced ovarian cancer[J]. Chinese Community Physician, 2017, 33(30): 80-83.
- Klinge CM, Radde BN, Imbert-Fernandez Y, et al. Targeting the intracellular MUC1 C-terminal domain inhibits proliferation and estrogen receptor transcriptional activity in lung adenocarcinoma cells[J]. Mol Cancer Ther, 2011, 10(11): 2062-2071.
- Bartel DP. MicroRNAs: genomics, biogenesis, mechanism, and function[J]. Cell, 2004, 116(2): 281-297.
- Yao Q, Zhang AM, Ma H, et al. Novel molecular beacons to monitor microRNAs in non-small-cell lung cancer[J]. Mol Cell Probes, 2015, 26(5): 182-187.
- Resnick KF, Alder H, Hagan JP, et al. The detection of differentially expressed microRNAs from the serum of ovarian cancer patients using a novel real-time PCR platform[J]. Cyneal Oncol, 2009, 112(1): 55-59.
- Ohyagi-Hara C, Sawada K, Kamiura S, et al. miR-92a inhibits peritoneal dissemination of ovarian cancer cells by inhibiting integrin α5 expression[J]. Am J Pathol, 2013, 182(5): 1876-1889.
- Ponnusamy MP, Seshacharyulu P, Lakshmanan I, et al. Emerging role of mucins in epithelialto mesenchymal transition[J]. Curr Cancer Drug Targets, 2013, 13(9): 945-956.
- Bacalbasa N, Balescu I, Dima S, et al. Hematogenous splenic metastases as an independent negative prognosis factor at the moment of primary cytoreduction in advanced stage epithelial ovarian cancer-a single center experience[J]. Anticancer Res, 2015, 35(10): 5649-5654.
- Di Giorgio A, Cardi M, Biacchi D, et al. Depth of colorectal-wall invasion and lymph-node involvement as major outcome factors influencing surgical strategy in patients with advanced and recurrent ovarian cancer with diffuse peritoneal metastases[J]. World J Surg Oncol, 2013, 11: 64.
- Li M, Guan X, Sun Y, et al. miR-92a family and their target genes in tumorigenesis and metastasis[J]. Exp Cell Res, 2014, 323(1): 1-6.
- Ke TW, Wei PL, Yeh KT, et al. MiR-92a promotes cell metastasis of colorectal cancer through PTEN-mediated PI3K/AKT pathway[J]. Ann Surg Oncol, 2015, 22(8): 2649-2655.
- Lv H, Zhang Z, Wang Y, et al. MicroRNA-92a promotes colorectal

- cancer cell growth and migration by inhibiting KLF4[J]. *Oncol Res*, 2016, 23(6): 283-290.
15. Zhou C, Shen L, Mao L, et al. miR-92a is upregulated in cervical cancer and promotes cell proliferation and invasion by targeting FBXW7[J]. *Biochem Biophys Res Commun*, 2015, 458(1): 63-69.
 16. Zhang GJ, Li LF, Yang GD, et al. MiR-92a promotes stem cell-like properties by activating Wnt/ β -catenin signaling in colorectal cancer[J]. *Oncotarget*, 2017, 8(60): 101760-101770.
 17. Luo S, Li N, Yu S, et al. MicroRNA-92a promotes cell viability and invasion in cervical cancer via directly targeting Dickkopf-related protein 3[J]. *Exp Ther Med*, 2017, 14(2): 1227-1234.
 18. Lu C, Shan Z, Hong J, et al. MicroRNA-92a promotes epithelial-mesenchymal transition through activation of PTEN/PI3K/AKT signaling pathway in non-small cell lung cancer metastasis[J]. *Int J Oncol*, 2017, 51(1): 235-244.
 19. Lin HY, Chiang CH, Hung WC. STAT3 upregulates miR-92a to inhibit RECK expression and to promote invasiveness of lung cancer cells[J]. *Br J Cancer*, 2013, 109(3): 731-738.
 20. Hu S, Liu L, Chang EB, et al. Butyrate inhibits pro-proliferative miR-92a by diminishing c-Myc-induced miR-17-92a cluster transcription in human colon cancer cells[J]. *Mol Cancer*, 2015, 14: 180.
 21. Lin YZ, Ou DL, Chang HY, et al. Simultaneous visualization of the subfemtomolar expression of microRNA and microRNA target gene using HILO microscopy[J]. *Chem Sci*, 2017, 8(9): 6670-6678.
 22. Zhang LL, Liu J, Lei S, et al. PTEN inhibits the invasion and metastasis of gastric cancer via downregulation of FAK expression[J]. *Cell Signal*, 2014, 26(5): 1011-1120.
 23. 吴卉娟, 郝权, 王珂, 等. 第10号染色体上磷酸酶和张力蛋白同源缺失的基因对人卵巢癌A2780细胞侵袭和迁移能力的影响及相关机制[J]. 中华肿瘤杂志, 2011, 33(3): 165-168.
 24. WU Huijuan, HAO Quan, WANG Ke, et al. Effects of homologous deletion of phosphatase and tensin on the invasion and migration of human ovarian cancer A2780 cells and related mechanisms[J]. *Chinese Journal of Oncology*, 2011, 33(3): 165-168.
 25. Pan S, Deng Y, Fu J, et al. Decreased expression of ARHGAP15 promotes the development of colorectal cancer through PTEN/AKT/FOXO1 axis[J]. *Cell Death Dis*, 2018, 9(6): 673.
 26. Tanwar PS, Mohapatra G, Chiang S, et al. Loss of LKB1 and PTEN tumor suppressor genes in the ovarian surface epithelium induces papillary serous ovarian cancer[J]. *Carcinogenesis*, 2014, 35(3): 546-553.
 27. Hohensee I, Chuang HN, Grottke A, et al. PTEN mediates the cross talk between breast and glial cells in brain metastases leading to rapid disease progression[J]. *Oncotarget*, 2017, 8(4): 6155-6168.
 28. Li NN, Meng XS, Bao YR, et al. Evidence for the involvement of COX-2/VEGF and PTEN/PI3K/AKT pathway the mechanism of oroxin B treated liver cancer[J]. *Pharmacogn Mag*, 2018, 14(54): 207-213.
 29. Liu J, Chen W, Zhang H, et al. miR-214 targets the PTEN-mediated PI3K/Akt signaling pathway and regulates cell proliferation and apoptosis in ovarian cancer[J]. *Oncol Lett*, 2017, 14(5): 5711-5718.

本文引用: 王秋宇, 朱军义, 邓巧子. MiRNA-92a靶向PTEN通过PI3K/AKT信号通路促进卵巢癌细胞转移[J]. 临床与病理杂志, 2020, 40(7): 1658-1667. doi: 10.3978/j.issn.2095-6959.2020.07.005

Cite this article as: WANG Qijuyu, ZHU Junyi, DENG Qiaozi. MiRNA-92a promote metastasis in ovarian cancer cells through PI3K/Akt signaling pathway by targeting PTEN[J]. *Journal of Clinical and Pathological Research*, 2020, 40(7): 1658-1667. doi: 10.3978/j.issn.2095-6959.2020.07.005